

УДК 681.32

А.А. Иванюк

## ПРОЕКТИРОВАНИЕ КОНФИГУРИРУЕМОГО СДВИГОВОГО РЕГИСТРА С ЛИНЕЙНОЙ ОБРАТНОЙ СВЯЗЬЮ

*Рассматривается методика проектирования конфигурируемого сдвигового регистра, для которого возможно задание его разрядности в различных режимах функционирования. Предложенная схема сдвигового регистра с линейной обратной связью позволяет использовать его в качестве циклического сдвигового регистра, генератора М-последовательности, счетчика Джонсона и одноканального сигнатурного анализатора. Приводится оценка аппаратных затрат на реализацию конфигурируемого сдвигового регистра.*

### Введение

Среди многообразия цифровых генераторов псевдослучайных последовательностей (ГПП) наиболее широкое распространение получили генераторы М-последовательностей, построенные на основе сдвиговых регистров с линейной обратной связью (от англ. Linear Feedback Shift Register, LFSR) [1]. В задачах контроля и диагностики средств вычислительной техники LFSR используются для синтеза генераторов псевдослучайных тестовых последовательностей и сигнатурных анализаторов [2]; в криптографии – для генерирования символов псевдослучайных числовых последовательностей с дискретным равномерным распределением [3], синтеза схем шифрования в потоковых криптосистемах [4]; в системах телекоммуникаций – для аппаратной реализации схем помехоустойчивого кодирования [5], схем скремблирования [6] и т. д.

В статье рассматривается один из возможных вариантов реализации конфигурируемого LFSR, для которого предусмотрено динамическое изменение его разрядности и режимов функционирования.

### 1. Теоретические основы проектирования цифровых устройств на основе LFSR

В основе структуры LFSR лежит  $n$ -разрядный сдвиговый регистр, проектируемый, как правило, при помощи синхронных  $D$ -триггеров. Синтез LFSR осуществляется на основе характеристического полинома

$$\varphi(x) = 1 \oplus \alpha_1 x^1 \oplus \alpha_2 x^2 \oplus \dots \oplus \alpha_{n-1} x^{n-1} \oplus \alpha_n x^n, \quad (1)$$

где  $n = \deg(\varphi(x))$  определяет число разрядов LFSR, а коэффициенты  $\alpha_i \in \{0, 1\}$  ( $i = \overline{1, n}$ ) используются для формирования значения сигнала в цепи обратной связи.

Пусть  $d_i \in \{0, 1\}$  ( $i = \overline{1, n}$ ) есть значение, хранящееся на  $i$ -м триггере, а  $D^{(k)} = \{d_1^{(k)}, d_2^{(k)}, \dots, d_n^{(k)}\}$  –  $n$ -разрядное двоичное слово, являющееся состоянием LFSR в  $k$ -й такт функционирования. Предположим, что в  $(k+1)$ -й такт функционирования при наступлении фронта сигнала синхронизации, являющегося общим для всех триггеров LFSR, осуществляется операция поразрядного сдвига двоичного слова, такая, что

$$d_i^{(k+1)} = d_{i-1}^{(k)}, \forall i = \overline{2, n}. \quad (2)$$

Новое значение младшего разряда LFSR при этом вычисляется исходя из значений коэффициентов полинома (1):

$$d_1^{(k+1)} = \bigoplus_{i=1}^n \alpha_i d_i^{(k)}. \quad (3)$$

Соответствующий выбор полинома (1) и начального состояния  $D^{(0)}$  определяет вид последовательности, вырабатываемой LFSR. Например, при  $\varphi(x) = 1 \oplus x^n$  и  $D^{(0)} = \{1, 0, 0, \dots, 0\}$  последовательность вырабатываемых двоичных слов  $(D^{(0)}, D^{(1)}, D^{(2)}, \dots, D^{(n-1)}, D^{(0)})$  будет представлять собой циклическую двоичную последовательность типа «one hot» с периодом повторения символов, равным  $n$ . С учетом того что  $\alpha_1 = \alpha_2 = \dots = \alpha_{n-1} = 0$  и  $\alpha_n = 1$ , выражение (3) принимает следующий вид:

$$d_1^{(k+1)} = d_n^{(k)}. \quad (4)$$

Выражение (4) совместно с (2) может быть использовано для синтеза структуры генератора вышеописанной циклической последовательности.

Если характеристический полином  $\varphi(x)$  является примитивным, период повторения вырабатываемых символов равен  $2^n - 1$ . Такого рода двоичные последовательности называются М-последовательностями [2] и по своим вероятностным характеристикам являются псевдослучайными последовательностями, при этом LFSR называется генератором М-последовательности либо ГПП.

Для синтеза  $n$ -разрядного ГПП на основе LFSR необходимо выбрать соответствующий примитивный полином степени  $n$  ( $\deg(\varphi(x)) = n$ ). Известно, что число примитивных полиномов степени  $n$  над полем GF(2) можно вычислить по формуле [7]

$$M(n) = \frac{L(2^n - 1)}{n}, \quad (5)$$

где  $L$  – функция Эйлера.

Например, для  $n = 4$  существует  $M(4) = 2$  примитивных полинома  $\varphi_1(x) = 1 \oplus x \oplus x^4$  и  $\varphi_2(x) = 1 \oplus x^3 \oplus x^4$ , на основе которых можно спроектировать два генератора М-последовательности. С учетом одинаковых начальных состояний такие генераторы за 15 тактов функционирования выработают 15 символов двух М-последовательностей, но с различным порядком их следования. Это свойство характерно для всех ГПП, синтезированных на основе примитивных полиномов с одинаковым значением их старших степеней.

Генераторы М-последовательностей часто применяются в качестве источников тестовых воздействий при решении задач тестирования цифровых устройств, при которых реакции на тестовые воздействия сжимаются в компактную характеристику, называемую сигнатурой [2]. Аппаратура сжатия при этом называется сигнатурным анализатором [2], структура которого может быть синтезирована по схожим принципам, что и генератор М-последовательности. В общем случае одноканальный сигнатурный анализатор (ОСА) представляет собой ГПП, в цепи обратной связи которого присутствует дополнительный элемент XOR (исключающее ИЛИ), на один из входов которого подается символ сжимаемой последовательности. При этом значение младшего разряда LFSR описывается следующим образом:

$$d_1^{(k+1)} = d_0^{(k)} \oplus \left( \bigoplus_{i=1}^n \alpha_i d_i^{(k)} \right), \quad (6)$$

где  $d_0^{(k)} \in \{0, 1\}$  – значение сжимаемого символа.

При условиях, что  $D^{(0)} \neq \{0, 0, 0, \dots, 0\}$ ,  $d_0^{(k)} = 0$  ( $\forall k = 0, 1, 2, \dots$ ) и  $\alpha_i$  есть коэффициенты примитивного полинома  $\varphi(x)$ , аппаратура ОСА будет функционировать в качестве генератора М-последовательности. Если  $\varphi(x) = 1 \oplus x^n$  и  $d_0^{(k)} = 1$  ( $\forall k = 0, 1, 2, \dots$ ), выражение (6) принимает следующий вид:

$$d_1^{(k+1)} = 1 \oplus d_n^{(k)} = \overline{d_n^{(k)}}, \quad (7)$$

что для случая  $n = 2^r$  ( $\forall r = 1, 2, 3, \dots$ ) является выражением для вычисления нового значения младшего разряда счетчика Джонсона [8], вырабатывающего псевдослучайную последовательность с периодом, равным  $2n$ . Таким образом, соответствующие значения  $\alpha_i$  и  $d_0^{(k)}$  при заданном  $n$  позволяют посредством выражений (2) и (6) описать функционирование четырех различных цифровых устройств: генератора циклической последовательности, генератора М-последовательности, одноканального сигнатурного анализатора и счетчика Джонсона.

С целью определения произвольной разрядности в пределах значения  $n$  вышеперечисленных аппаратных структур введем дополнительные коэффициенты  $\beta_j \in \{0, 1\}$  ( $\forall j = \overline{1, n}$ ) (рис. 1).

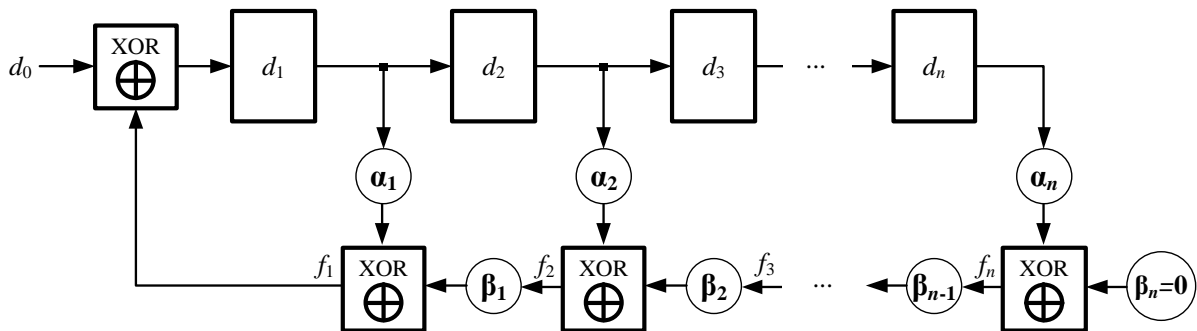


Рис. 1. Обобщенная структура конфигурируемого сдвигового регистра

Нулевое значение коэффициента  $\beta_j$  означает, что соответствующий ему разряд  $d_j$  является старшим разрядом в конфигурируемой структуре и все последующие разряды  $d_l$  ( $j < l \leq n$ ) не участвуют в формировании значения сигнала  $f_1$  в цепи обратной связи. При этом значение  $f_1$  можно выразить следующим образом:

$$\begin{aligned} f_1 &= \alpha_1 d_1 \oplus \beta_1 f_2 = \alpha_1 d_1 \oplus \alpha_2 \beta_1 d_2 \oplus \beta_1 \beta_2 f_3 = \dots = \\ &= \alpha_1 d_1 \oplus \alpha_2 \beta_1 d_2 \oplus \alpha_3 \beta_1 \beta_2 d_3 \oplus \dots \oplus \alpha_n \beta_1 \beta_2 \dots \beta_{n-1} f_n. \end{aligned} \quad (8)$$

С учетом того что для старшего используемого разряда  $f_n = \alpha_n d_n$  ( $\beta_n = 0$ ), выражение (8) можно записать в более компактной форме:

$$f_1 = \alpha_1 d_1 \oplus \left( \bigoplus_{i=1}^{n-1} \alpha_{i+1} d_{i+1} \prod_{j=1}^i \beta_j \right). \quad (9)$$

Таким образом, единичные значения коэффициентов  $\beta_1 = \beta_2 = \dots = \beta_m = 1$  определяют количество разрядов  $m \leq n$ , участвующих в конфигурации сдвигового регистра с линейной обратной связью.

В общем случае значение младшего разряда конфигурируемого сдвигового регистра описывается выражением

$$d_1^{(k+1)} = d_0^{(k)} \oplus \alpha_1 d_1^{(k)} \oplus \left( \bigoplus_{i=1}^{n-1} \alpha_{i+1} d_{i+1}^{(k)} \prod_{j=1}^i \beta_j \right). \quad (10)$$

Развитие идеи компактного тестирования привело к появлению конфигурируемых структур на подобие BILBO (от англ. Built-In Logic Block Observer) [9], которые, будучи построенными на LFSR, могут функционировать как в качестве генераторов тестовых последовательностей, так и в качестве сигнатурных анализаторов. Двойственное функционирование BILBO обусловлено наличием реконфигурируемых блоков, которые обеспечивают соответствующую коммутацию сигналов в зависимости от задаваемого режима. Для BILBO определены четыре основных режима: режим нормального функционирования, при котором триггеры, входящие в состав BILBO, играют роль элементов памяти устройства; режим сдвигового регистра; режим генератора тестовых последовательностей (ГТП) и режим сигнатурного анализатора (СА) [9].

В работе [10] было показано, что для увеличения достоверности встроенного самотестирования посредством BILBO необходимо применять ГТП и СА с использованием различных полиномов.

В общем случае задачу проектирования конфигурируемого LFSR можно сформулировать как задачу синтеза сдвигового регистра с различными задаваемыми коэффициентами  $\alpha_i$  и с различным значением числа разрядов в пределах  $n$ .

Для решения данной задачи было предложено множество подходов [10–14]. Так, в работе [10] предлагается структура LFSR с фиксированным параметром  $n$  и возможностью задания различных коэффициентов  $\alpha_i$ . В работе [11] предлагается 128-разрядный сдвиговый регистр с множеством фиксированных коэффициентов  $\alpha_i$  для возможности реализации LFSR произвольной разрядности в пределах от  $n = 8$  до  $n = 128$ . Дальнейшим развитием работы [11] стала публикация [12], предлагающая идею реконфигурируемого LFSR с целью обеспечения различных базовых операций для программно-определяемых радиосистем (от англ. Software-Defined Radio, SDR). В работе [13] была предложена архитектура LFSR, состоящая из 64 базовых реконфигурируемых элементов, каждый из которых содержит настраиваемый 8-разрядный сдвиговый регистр данных и 32 8-разрядных конфигурационных регистра, позволяющих настраивать структуру LFSR на произвольную разрядность для осуществления различных операций над элементами полей GF(2), GF(2<sup>8</sup>), GF(2<sup>16</sup>) либо GF(2<sup>32</sup>). В работе [14] рассматривается задача аппаратной реализации генераторов псевдослучайных последовательностей с перестраиваемой структурой на основе теории клеточных автоматов.

В настоящей работе рассмотрим методику проектирования конфигурируемого сдвигового регистра посредством языка VHDL с дальнейшей его реализацией для программируемых логических интегральных схем типа FPGA.

## 2. Проектирование конфигурируемого сдвигового регистра

Модульность и высокий уровень абстракции языка VHDL позволяют описывать схемотехнические элементы цифровых устройств произвольной сложности [15]. Кроме того, VHDL позволяет составлять параметризованные проектные описания для случая итерационных цифровых структур. В связи с этим для составления VHDL-описаний LFSR-структур могут быть применены следующие подходы:

1. Составление непараметризованного описания с фиксированными значениями  $n$  и  $\alpha_i$ .
2. Составление параметризованного описания с произвольно задаваемыми значениями  $n$  и  $\alpha_i$ .
3. Составление параметризованного описания конфигурируемого сдвигового регистра с произвольно задаваемыми значениями  $\alpha_i$  и  $\beta_j$ .

Применение первого подхода позволяет достичь минимальных аппаратных затрат при синтезе описываемой LFSR-структуры, однако изменение разрядности LFSR либо множества коэффициентов  $\alpha_i$  приведет к изменению исходного VHDL-описания и повторному циклу проектирования устройства.

Рассмотрим пример непараметризованного описания генератора М-последовательности и результат его синтеза для  $n = 4$  и  $\phi(x) = 1 \oplus x \oplus x^4$  (рис. 2).

```

library IEEE;
use IEEE.STD_LOGIC_1164.all;

entity LFSR4 is
  port ( CLK, RST, Load, D : in std_logic;
        Q : out std_logic );
end LFSR4;

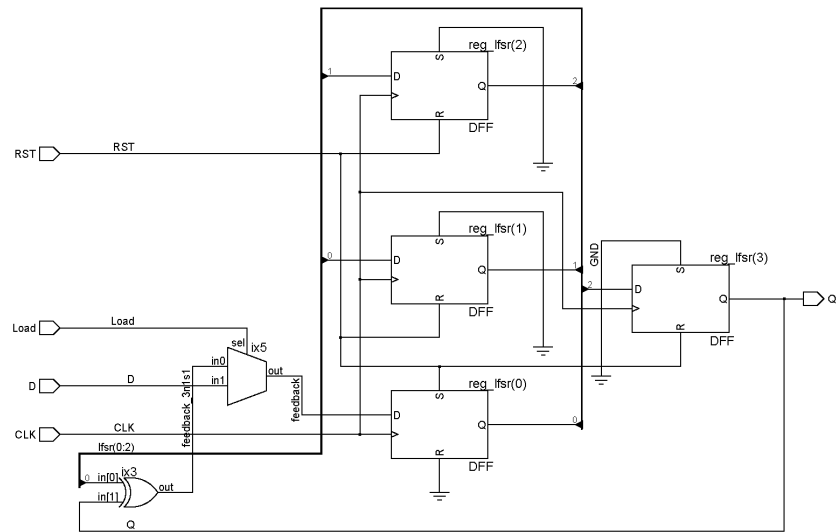
architecture Behavioral of LFSR4 is
  signal feedback : std_logic;
  signal lfsr : std_logic_vector( 0 to 3 );
  constant init : std_logic_vector( 0 to 3 ) := "1000";
begin
  PSHIFT: process( RST, CLK, feedback, lfsr )
  begin
    if ( RST = '1' ) then
      lfsr <= init;
    elsif rising_edge( CLK ) then
      lfsr <= feedback & lfsr( 0 to 2 );
    end if;
  end process;

  PFB: process( Load, D, lfsr )
  begin
    if ( Load = '1' ) then
      feedback <= D;
    else
      feedback <= lfsr( 0 ) xor lfsr( 3 );
    end if;
  end process;

  Q <= lfsr(3);
end behavioral;

```

а)



б)

Рис. 2. Генератор псевдослучайной последовательности:  
а) описание ГПП для  $n = 4$ ; б) результат его RTL-синтеза

Из рис. 2 видно, что параметр  $(n-1)$  в явном виде присутствует как при объявлении сигналов, так и при описании подсистем LFSR, а именно в процессе PSHIFT, описывающем синхронный сдвиговый регистр; в процессе PFB, описывающем двухвходовый элемент XOR и мультиплексор, необходимые для формирования значения сигнала линейной обратной связи, и в последнем параллельном операторе, описывающем передачу одного бита вырабатываемой последовательности на выходной порт устройства.

Определение начального состояния ГПП возможно двумя способами: асинхронно при установке единичного значения сигнала на входном порту *RST*, при этом сдвиговый регистр принимает фиксированное значение "1000"; синхронно при удержании единичного значения сигнала на входном порту *Load*. В первом случае изменение инициализирующего значения регистра возможно только при составлении его проектного описания, во втором случае – во время функционирования устройства по назначению.

Основной задачей при трансформации представленного описания в параметризованное описание ГПП для целочисленного параметра  $n$  будет являться описание оператора, формирующего значение сигнала обратной связи в процессе PFB для произвольно задаваемых коэффициентов  $\alpha_i$ . Для этого введем generic-параметр *ALPHA* безразмерного типа *std\_logic\_vector*, значение которого будет определять бинарную маску множества коэффициентов  $\{\alpha_1, \alpha_2, \dots, \alpha_n\}$  (рис. 3).

Из рис. 3 видно, что параметр *ALPHA* := "1011" задает порождающий полином  $\phi(x) = 1 \oplus x^3 \oplus x^4$ . Размерность таких объектов, как *lfsr* и *init*, можно определить посредством оператора **range**, а значение номера старшего разряда *lfsr* – атрибута оператора **high**. Вычисление значения сигнала в линии обратной связи можно произвести посредством оператора **for** в процессе PFB.

Представленный пример параметризованного описания является синтезируемым, и при значении *ALPHA* := "1001" результатом RTL-синтеза является схема, изображенная на рис. 2. В общем случае для возможности использования различных ГПП в HDL-описаниях проектировщику достаточно определить компоненту LFSRn с указанием одного параметра ALPHA.

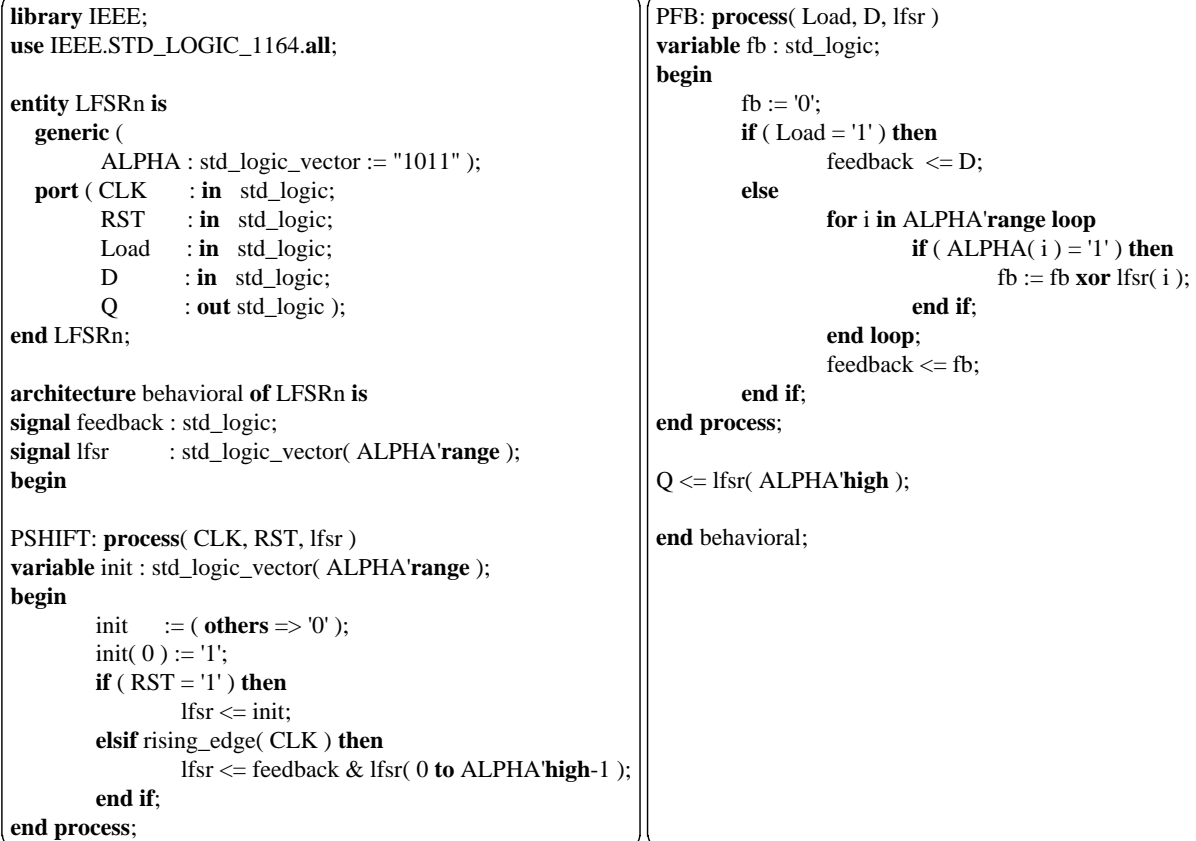


Рис. 3. Параметризированное описание ГПП

Структура конфигурируемого сдвигового регистра должна иметь возможность определять его разрядность в пределах  $n$  и значения коэффициентов  $\alpha_i$  непосредственно в процессе функционирования. Для этого согласно выражению (10) модифицируем разряды LFSR, представленные  $D$ -триггерами, следующим образом. Для каждого разряда LFSR общими сигналами будут:  $CLK$  – сигнал синхронизации,  $RST$  – сигнал асинхронной инициализации,  $EN$  – асинхронный сигнал разрешения. Каждый разряд LFSR должен иметь входной порт данных  $sd\_in$  и выходной порт данных  $sd\_out$  для возможности обеспечения микрооперации сдвига. Для каждого разряда LFSR введем два дополнительных входных порта:  $alpha$  – для передачи значения коэффициента  $\alpha_i$  и  $beta$  – для передачи значения сигнала, определяющего старший разряд сдвигового регистра. Для этого введем в структуру каждого элемента дополнительную аппаратуру, которая будет отвечать за конфигурацию цепи обратной связи, что потребует наличия двух дополнительных портов: входного порта сигнала обратной связи  $fb\_in$  и выходного  $fb\_out$ .

С учетом описанных модификаций структурная схема одного разряда конфигурируемого сдвигового регистра может выглядеть следующим образом (рис. 4).

Конфигурация разряда RCCELL $i$  осуществляется посредством задания значений сигналов  $alpha$  и  $beta$ .

Например, в случае  $alpha = '0'$  и  $beta = '0'$  разряд играет роль элемента памяти и может быть использован для конфигурации линейного сдвигового регистра без обратной связи. При условии  $alpha = '0'$  и  $beta = '1'$  значение, хранимое на триггере, не участвует в формировании обратной связи, а значение сигнала на входе  $fb\_in$  транслируется на выходной порт  $fb\_out$ . Условие  $alpha = '1'$  и  $beta = '0'$  может быть использовано для конфигурации старшего разряда LFSR, значение которого непосредственно передается по линии обратной связи. Четвертое условие  $alpha = '1'$  и  $beta = '1'$  конфигурирует разряд LFSR как разряд, значение которого участвует в формировании сигнала обратной связи.



Таблица 1

Возможные варианты конфигураций

<i>Adr</i>	<i>Load</i>	<i>Go</i>	$\alpha_0$	<i>den</i>	<i>cen</i>	<i>sel</i>	<i>din</i>	<i>cdin</i>	Пояснение
X	0	0	X	0	0	0	X	X	режим регистра хранения
X	0	1	0	1	0	0	$f_1$	X	режим ГПП сдвигового регистра
X	0	1	1	1	0	0	$\overline{f_1}$	X	режим ГПП счетчика Джонсона
0	1	X	X	0	1	0	X	<i>D</i>	режим инициализации памяти конфигурации
1	1	X	0	1	0	1	$d_0$	0	режим инициализации LFSR
1	1	X	1	1	0	1	$d_0 \oplus f_1$	0	режим одноканального сигнатурного анализатора

Память конфигурации, хранящая значения коэффициентов  $\{\alpha_0, \dots, \alpha_n\}$  и  $\{\beta_1, \dots, \beta_n\}$ , может представлять собой набор из двух сдвиговых регистров, значения которых, как и значения LFSR, могут загружаться из общего входного порта *D*. Предположим, что значения  $\{\alpha_0, \dots, \alpha_n\}$  хранятся в  $(n+1)$ -разрядном сдвиговом регистре *reg\_alpha*, а  $\{\beta_1, \dots, \beta_n\}$  – в  $n$ -разрядном сдвиговом регистре *reg\_beta*. Покажем, что для определения значения *reg\_beta* достаточно последовательного определения значений разрядов регистра *reg\_alpha*. Во время процедуры инициализации ( $RST = '1'$ ) оба регистра принимают нулевые значения. После инициализации значения коэффициентов порождающего полинома  $\varphi(x)$  ( $\deg(\varphi(x)) = k$ ) последовательно записываются в регистр *reg\_alpha*, начиная со старшего значимого  $\alpha_k = '1'$ . После  $k$  тактов сигнала синхронизации в регистр записывается значение младшего коэффициента  $\alpha_0 = '0'$  для возможности конфигурации структуры ГПП. Таким образом, по прошествии  $k+1$  тактов синхронизации содержимое регистра *reg\_alpha* равно  $\{0, \alpha_1, \alpha_2, \dots, \alpha_{k-1}, 1, 0, \dots, 0\}$ , что эквивалентно порождающему полиному вида  $\varphi(x) = 1 \oplus \alpha_1 x \oplus \alpha_2 x^2 \oplus \dots \oplus \alpha_{k-1} x^{k-1} \oplus x^k$ . Для корректной конфигурации структуры LFSR значение регистра *reg\_beta* должно принимать следующее значение:  $\{\beta_1, \dots, \beta_{k-1}, \beta_k, \beta_{k+1}, \dots, \beta_n\} = \{1, \dots, 1, 0, 0, \dots, 0\}$ . Видно, что единичные значения  $k-1$  младших разрядов регистра *reg\_beta* могут устанавливаться параллельно с приемом в регистр *reg\_alpha* очередного значения коэффициента  $\alpha_i$  без учета  $\alpha_k = '1'$ , которое может служить индикатором начала процесса заполнения регистра *reg\_beta*.

Исходя из сказанного выше, память конфигурации можно спроектировать в виде схемы, изображенной на рис. 6.

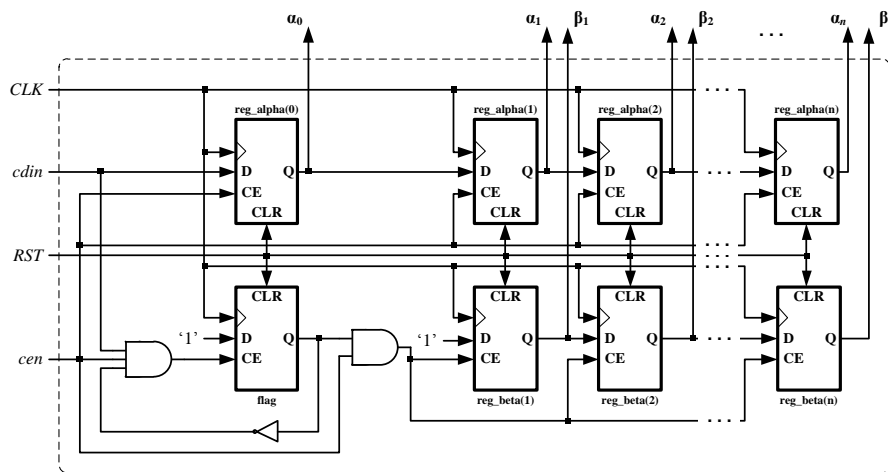


Рис. 6. Структура памяти конфигурации



В табл. 2 приведены некоторые значения регистров *reg\_alpha* и *reg\_beta* и соответствующие конфигурации предложенной схемы LFSR для  $n = 8$ .

Таблица 2

Варианты конфигурирования LFSR для  $n = 8$ 

Регистр	Номер разряда регистра									Пояснения
	0	1	2	3	4	5	6	7	8	
<i>reg_alpha</i>	0	0	0	0	0	0	0	0	1	8-разрядный циклический сдвиговый регистр
<i>reg_beta</i>	-	1	1	1	1	1	1	1	0	
<i>reg_alpha</i>	1	0	0	0	1	0	0	0	0	4-разрядный счетчик Джонсона
<i>reg_beta</i>	-	1	1	1	0	0	0	0	0	
<i>reg_alpha</i>	0	1	0	0	0	1	1	0	1	8-разрядный ГПП, $\varphi(x) = 1 \oplus x \oplus x^5 \oplus x^6 \oplus x^8$
<i>reg_beta</i>	-	1	1	1	1	1	1	1	0	
<i>reg_alpha</i>	1	1	0	0	0	0	1	0	0	6-разрядный ОКА, $\varphi(x) = 1 \oplus x \oplus x^6$
<i>reg_beta</i>	-	1	1	1	1	1	0	0	0	

Для определения конфигурации представленного LFSR необходимо выполнить следующую последовательность действий.

1. Осуществить инициализацию LFSR посредством подачи на вход *RST* сигнала с единичным логическим значением.

2. Задать начальное состояние регистра данных путем установки следующих значений на входных портах: *Adr* = '1', *Load* = '1', для каждого фронта сигнала синхронизации на входе *CLK* формировать бит инициализации на входном порту *D*. Процесс инициализации может занимать от 1 до  $n$  периодов сигнала синхронизации.

3. Задать значение памяти конфигурации путем установки следующих значений на входных портах: *Adr* = '0', *Load* = '1', для каждого фронта сигнала синхронизации на входе *CLK* формировать бит конфигурации на входном порту *D*. Процесс конфигурации потребует  $n + 1$  периодов сигнала синхронизации.

4. В зависимости от заданного значения конфигурации (см. табл. 1) обеспечить функционирование LSFR путем установки соответствующих сигналов на входных портах *Go*, *ADR* и *Load*.

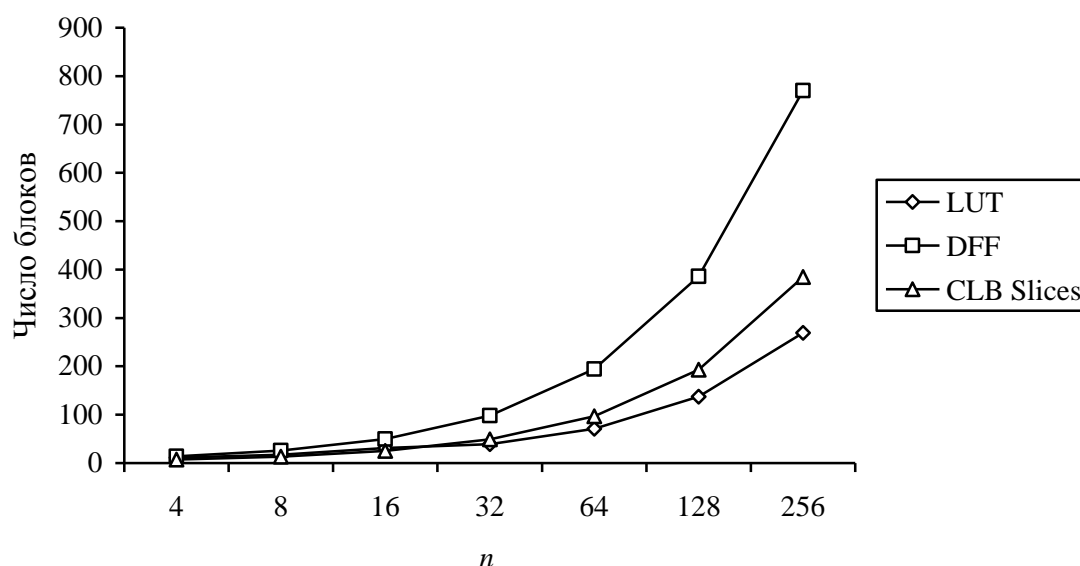
Представленную структуру конфигурируемого LFSR можно описать, используя смешанный стиль языка VHDL, который подразумевает использование структурного и поведенческого подмножества языка в одном проекте.

### 3. Анализ результатов аппаратной реализации

Функциональное моделирование составленного VHDL-описания конфигурируемого LFSR производилось при помощи программного средства ISim Simulator, входящего в состав пакета проектирования цифровых устройств Xilinx ISE [16]. Процесс технологического синтеза для различных параметров  $n$  осуществлялся для кристаллов FPGA Xilinx Spartan-3E XC3S500E [17]. С точки зрения RTL-представления схемная реализация конфигурируемого LFSR разрядности  $n$  требует наличия следующих компонентов:  $3n + 2$  триггеров *D*-типа,  $n + 2$  двухвходовых элементов XOR,  $2n + 4$  двухвходовых элементов AND, двух мультиплексоров с конфигурацией  $2 \times 1$  и двух демультиплексоров с конфигурацией  $1 \times 2$ .

Интегральная схема XC3S500E имеет в своем составе 1164 CLB-блока, каждый из которых содержит четыре Slice-блока: два SliceM- и два SliceL-блока. В свою очередь, каждый из перечисленных Slice-блоков состоит из двух генераторов функций LUT, способных реализовывать произвольную переключательную функцию от четырех переменных, и из двух элементов памяти, которые могут быть настроены в качестве синхронных триггеров D-типа. Таким образом, для выбранного кристалла FPGA имеется 4656 Slice-блоков, содержащих 9312 триггеров (DFF) и 9312 LUT-блоков.

Оценка аппаратных затрат на реализацию конфигурируемого LFSR разрядности  $n$  изображена на рис. 7.

Рис. 7. График зависимости числа технологических блоков от параметра  $n$ 

Так, при значении  $n = 256$  для реализации конфигурируемого LFSR потребуется 385 Slice-блоков либо 269 LUT-блоков и 770 триггеров, что в совокупности составляет 8,27 % от общих ресурсов кристалла XC3S500E. В случае реализации 256-разрядного ГПП, представленного параметризованным описанием (см. рис. 4), аппаратные затраты составят 256 триггеров и 2 LUT-блока либо 147 Slice-блоков, что в 2,6 раза меньше по сравнению с конфигурируемым LFSR. Однако в отличие от стандартной схемной реализации предложенный конфигурируемый LFSR способен изменять свое функционирование путем задания нового значения памяти конфигурации непосредственно в рабочем режиме.

Представленная методика проектирования конфигурируемого генератора может быть применена для синтеза LFSR с внутренними сумматорами по модулю два и схем многоканальных сигнатурных анализаторов.

### Заключение

В статье предложена схемная реализация цифрового конфигурируемого генератора псевдослучайных последовательностей, позволяющая реализовывать различные режимы функционирования регистра хранения, сдвигового регистра, счетчика Джонсона, генератора М-последовательности, одноканального сигнатурного анализатора. Задание конкретного режима осуществляется путем последовательной инициализации памяти конфигурации представленной схемы. Конфигурируемый генератор может быть применен в приложениях, требующих использования различных псевдослучайных последовательностей, например при реализации средств встроенного самотестирования цифровых устройств.

### Список литературы

1. VLSI Test Principles and Architecture / L.-T. Wang [et al.]. – San Francisco : Morgan Kaufman, 2006. – 777 p.
2. Ярмолик, В.Н. Контроль и диагностика цифровых узлов ЭВМ / В.Н. Ярмолик. – Минск : Наука и техника, 1988. – 240 с.
3. Gentle, J.E. Random Number Generation and Monte Carlo Methods / J.E. Gentle. – N. Y. : Springer-Verlag, 2003. – 281 p.
4. Stream Ciphers and Number Theory / T.W. Cusick [et al.]. – Amsterdam : Elsevier, 2004. – 413 p.

5. Moon, T.K. Error Correction Coding: Mathematical Methods and Algorithms / T.K. Moon. – New Jersey : John Wiley & Sons, 2005. – 756 p.
6. Wesolowski, K. Introduction to Digital Communication Systems / K. Wesolowski. – Chichester : John Wiley & Sons, 2009. – 561 p.
7. Shparlinski, I.E. Finite Fields: Theory and Computation / I.E. Shparlinski. – Dordrecht : Kluwer Academic Publishers, 1999. – 525 p.
8. Уэйкерли, Дж. Проектирование цифровых устройств: в 2 т. / Дж. Уэйкерли. – М. : Постмаркет, 2002. – Т. 2. – 528 с.
9. Konemann, B. Built-In Logic Block Observation Techniques / B. Konemann, J. Mucha, G. Zwiehoff // International Test Conference (ITC'79) : Proc. on IEEE Int. Conf. – New Jersey, USA, 1979. – P. 37–42.
10. Bolling, R. Reconfigurable Linear Feedback Register Design, Analysis and Applications / R. Bolling, S.A. Al-Arian // Circuits and Systems (ISCAS'94) : Proc. on IEEE Int. Symp. – London, England, UK, 1994. – Vol. 4. – P. 87–90.
11. A Reconfigurable Linear Feedback Shift Register (LFSR) for the Bluetooth System / P. Kitos [et al.] // Electronics, Circuits and Systems (ICECS'01) : Proc. On IEEE Int. Conf. – Malta, 2001. – P. 991–994.
12. Alaus, L. A Reconfigurable Linear FeedBack Shift Register Operator for Software Defined Radio Terminal / L. Alaus, D. Nogueta, J. Palicot // Wireless Pervasive Computing (ISWPC'2008) : Proc. of Int. Symp. – Santorini, Greece, 2008. – P. 319–323.
13. Zhiyuan, W. A Kind of Reconfigurable Linear Feedback Register Design / W. Zhiyuan, H. Jianhua, G. Ziming // Information Technology and Applications (IFITA'2009) : Proc. of Int. Forum. – Chengdu, China, 2009. – P. 657–660.
14. Мурашко, И.А. Автоматизированное проектирование генераторов псевдослучайных последовательностей с использованием аппарата клеточных автоматов / И.А. Мурашко, Д.Е. Храбров // Информационные технологии и системы 2012 (ИТС 2012) : материалы Междунар. науч. конф., Минск, Беларусь, 24 октября 2012 г. – Минск : БГУИР, 2012. – С. 188–189.
15. Chu, P.P. RTL Hardware Design Using VHDL / P.P. Chu. – New Jersey : John Wiley & Sons, 2006. – 669 p.
16. ISE Design Suite: Logic Edition [Electronic resource]. – Xilinx Inc., 2012. – Mode of access : <http://www.xilinx.com/products/design-tools/ise-design-suite/logic-edition.htm>. – Date of access : 28.12.2012.
17. Spartan-3E FPGA Family Data Sheet [Electronic resource]. – Xilinx Inc., 2006. – Mode of access : [http://www.xilinx.com/support/documentation/data\\_sheets/ds312.pdf](http://www.xilinx.com/support/documentation/data_sheets/ds312.pdf). – Date of access : 28.12.2012.

Поступила 18.01.13

*Белорусский государственный университет  
информатики и радиоэлектроники,  
Минск, ул. П. Бровки, 6  
e-mail: ivaniuk@bsuir.by*

**A.A. Ivaniuk**

### **DESIGNING CONFIGURABLE SHIFT REGISTER WITH A LINEAR FEEDBACK**

A method for designing a configurable shift register is considered, which allows setting its capacity in various operation modes. The suggested shift register with a linear feedback can be used as a cyclic shift register, a generator of M-sequences, Johnson's counter and a single-channel signature analyzer. An assessment of the relevant hardware implementation expenses is given.